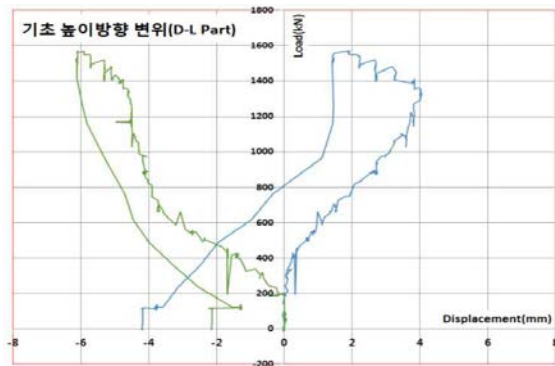
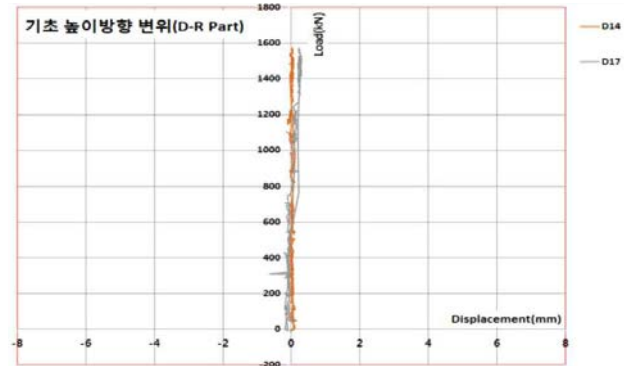


거동 하였으며, 하중 800kN 이후부터 실험체 바깥 방향으로 거동을 하였다.

(나) 기초 높이방향 변위(D01,D03,D14,D17)



[그림 3.6.51] D Part 기초 높이 방향 변위(D01, D03)

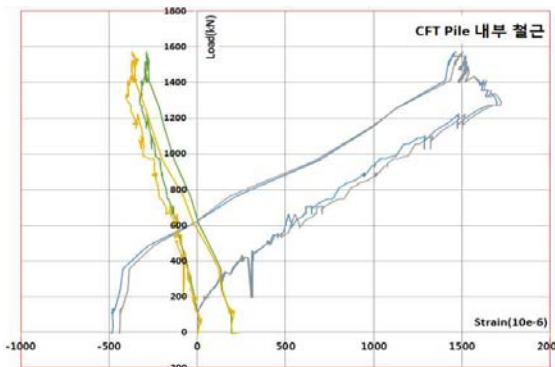


[그림 3.6.52] D Part 기초 높이방향 변위(D14, D17)

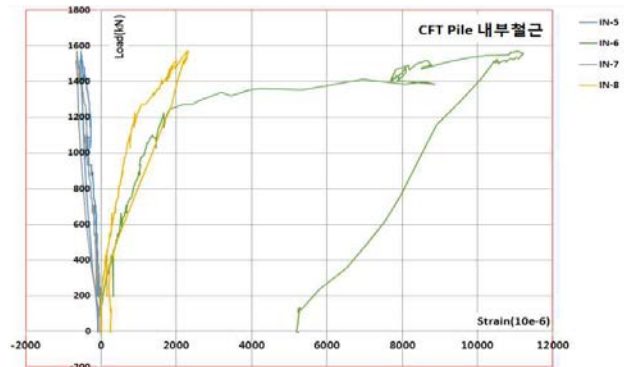
실물 모형 실험체의 재하 된 하중과 기초의 높이 방향 변위를 [그림 3.6.51]과 [그림 3.6.52]에 나타내었다. D01과 D03은 실물 실험체의 왼편에 위치한 기초의 높이 방향 변위를, D14과 D17은 실물 실험체의 오른편에 위치한 기초의 높이 방향 변위를 계측 하였다. 실물 실험체 오른편에 있는 기초에 발생한 변위는 매우 작지만, 실물 실험체 왼편에 위치한 기초는 하중에 따라 반 시계 방향으로 회전 한 것을 확인할 수 있었다.

(2) Steel Strain Gauge (30EA)

(가) CFT Pile 이음부 보강 철근(In-1~In-8)



[그림 3.6.53] CFT Pile 이음부 보강 철근(In-1~In-4)



[그림 3.6.54] CFT Pile 이음부 보강 철근(In-5~In-8)

실물 모형 실험체의 재하 된 하중과 CFT Pile의 이음부 보강 철근에 부착한 변형률을 [그림 3.6.53]와 [그림 3.6.54]에 나타내었다. In-1부터 In-4까지는 실물 실험체의 왼편에 위치한 CFT Pile의 이음부 보강 철근에 부착하였으며, In-1과 In-3은 인장부에 In-2와 In-4는 압축부에 부착하였다. 반대로 In-5부터 In-8까지는 실물 실험체의 오른편에 위치한 CFT Pile의 이음부 보강 철근에 부착하였으며, In-5과 In-7은 압축부에 In-6와 In-8은 인장부에 부착하였다. 재하 되는 하중의 크기가 110kN 까지는 CFT Pile 강관에 발생하는 변형률은 없었으며, 재하 되는 하중의 크기가 110kN 이 후부터